

## САМОМОДУЛЯЦИЯ КОЛЕБАНИЙ В СИСТЕМЕ ПЛАЗМА – МОДУЛИРОВАННЫЙ ИОННЫЙ ПУЧОК

И.А. Сычев

*Обсуждается эффект модуляционной неустойчивости колебаний, возбуждаемых модулированным ионным пучком в плазме, приводящий к образованию солитонов огибающей при определенных параметрах плазмы и пучка.*

В работе /1/ при прохождении модулированного по скорости ионного пучка по плазме с плотностью  $n_0 \sim 10^{11} - 5 \cdot 10^{11} \text{ см}^{-3}$  обнаружена группировка ионов в некоторой точке дрейфового пространства подобно тому, как это происходит в клистроне. В этой точке переменная составляющая сигнала ленгмюровского зонда содержит несколько гармоник на частотах  $n\omega_0$  ( $n = 1, 2 \dots$ ), где  $\omega_0$  – частота модуляции скорости на входе пучка в плазму. При понижении плотности плазмы до  $n_0 \sim 10^9 - 10^{10} \text{ см}^{-3}$  группировка пучка и связанная с ней накачка гармоник отсутствуют; имеется сигнал только на частоте модуляции. Это связано с двумя причинами: во-первых, увеличивается отношение дисперсионной составляющей фазовой скорости пучка к амплитуде модуляции скорости, так что дисперсионные свойства волны начинают преобладать над нелинейными /1/, во-вторых, вследствие роста дебаевского радиуса ослабевает экранировка пространственного заряда пучка и растет потенциал плазмы. Однако, при плотности плазмы  $n_0 \sim 10^{10} \text{ см}^{-3}$  на расстоянии порядка нескольких десятков сантиметров от точки входа модулированного пучка в плазму наблюдается разбиение волны на волновые пакеты (рис. 1). Эту картину можно рассматривать как образование солитонов огибающей вследствие развития модуляционной неустойчивости.

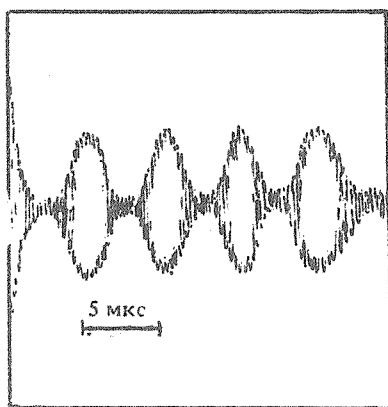


Рис. 1. Оциллограмма колебаний, возбуждаемых модулированным ионным пучком в плазме с  $n_0 \sim 10^{10} \text{ см}^{-3}$  вдали от точки входа пучка в плазму (переменная составляющая электронного тока на ленгмюровский зонд). Частота колебаний, заполняющих горбы,  $f_0 = 4 \text{ МГц}$ .

В настоящей работе изучаются нелинейные явления, приводящие к самомодуляции основной волны колебаний при достаточно низкой плотности плазмы, когда накачка гармоник отсутствует.

Для описания этих явлений используем следующую модель системы ионный пучок – плазма: ионы плазмы и пучка считаем холодными (что подтверждается экспериментально /1/), а электроны плазмы безынерционными. Для ионов плазмы и пучка используем одномерные уравнения гидродинамики, для электронов – распределение Больцмана  $n_e = n_{e0} \exp(e\varphi/T_e)$ , где  $\varphi$  – переменная составляющая потенциала плазмы, связанная с колебаниями и подчиняющаяся уравнению Пуассона.

Под действием вынуждающей силы в системе раскачиваются колебания с частотой  $\omega \approx \omega_0 = k_0 u$ , где  $k_0$  – волновое число колебаний;  $u = (2e\Delta V/m_i)^{1/2}$  – дрейфовая скорость пучка;  $\Delta V$  – ускоряющая разность потенциалов сетки и плазмы, равная 25 – 30 В /1/,  $m_i$  – масса иона.

Усреднение исходной системы уравнений по "быстрым" колебаниям с частотой  $\omega_0$  и волновым числом  $k_0$  приводит в линейном приближении к следующему уравнению для амплитуды поля основной волны  $E(z, t)$ :

$$i \frac{\partial E}{\partial z} + \frac{i}{u'} \frac{\partial E}{\partial t} - \frac{\omega_0 \epsilon}{u(1+b)} E - \frac{3}{2} \frac{\epsilon}{\omega_0 u} \frac{b(1-b)}{(1+b)^2} \frac{\partial^2 E}{\partial t^2} = 0, \quad (1)$$

где  $u' = u/[1 - \epsilon(1-b)/(1+b)]$ ;  $\epsilon = (v_s/u) \sqrt{n_b/n_0}$ ;  $v_s = \sqrt{T_e/m_i}$ ;  $b = \delta^2 \omega_0^2 / \omega_{pi}^2$ ;  $\delta^2 = v_s^2 / u^2 = T_e / 2\Delta V$ ;  $\omega_{pi} = (4\pi e^2 n_0 / m_i)^{1/2}$ ;  $n_b$  — плотность ионов пучка.

При флуктуациях плотности плазмы ( $\delta n_0$ ) и пучка ( $\delta n_b$ ) меняется величина  $\epsilon$ :  $\delta \epsilon = (\epsilon/2) (\delta n_b/n_b - \delta n_0/n_0)$ , величины  $\delta n/n$  определяются из условия баланса силы Миллера и силы теплового давления. Поскольку  $(\delta n_b/n_b) / (\delta n_0/n_0) = (m_e/m_i) (n_0/n_b) \ll 1$ , то  $\delta \epsilon = -\epsilon \delta n_0 / 2n_0 = \epsilon e^2 |E|^2 / 4m_e T_e \omega_0^2$ .

Учитывая возмущение  $\epsilon$  в третьем члене в (1), получим нелинейное уравнение для амплитуды поля основной волны:

$$i \frac{\partial E}{\partial z} + \frac{i}{u'} \frac{\partial E}{\partial t} - \frac{\omega_0 \epsilon}{u(1+b)} E + \frac{1}{2} w \frac{\partial^2 E}{\partial t^2} - a |E|^2 E = 0, \quad (2)$$

где  $w = -3\epsilon b(1-b)/\omega_0 u(1+b)^2$ ,  $a = \epsilon e^2 / 4m_e T_e \omega_0 u(1+b)$ . Частным решением уравнения (2) являются солитоны вида  $E(z, t) = a_0 / \text{ch}(t/\theta_0 - z/\theta_0 u')$ , где амплитуда  $a_0$  и характерный временной параметр  $\theta_0$  связаны соотношением

$$a_0^2 \theta_0^2 = |w| / a. \quad (3)$$

Эти солитоны огибающей образуются в результате развития модуляционной неустойчивости, необходимым условием которой является выполнение критерия Лайтхилла  $aw < 0$ , то есть  $b < 1$ . Пользуясь методикой, изложенной в [2], находим пространственный инкремент модуляционной неустойчивости  $\kappa_i \approx (\nu^2 |w| a a_0^2)^{1/2}$ , где  $\nu = 2\pi/\theta$  — частота,  $\theta$  — период модуляции огибающей. Используя условие (3), получим характерную длину развития неустойчивости

$$L = 1/\kappa_i = L_0 (1+b)^2 / b(1-b), \quad (4)$$

где  $L_0 = \theta \theta_0 \omega_0 u / 6\pi e$ . Функция (4) имеет минимум при  $b = 1/3$ , что соответствует значению ленгмюровской ионной частоты  $\omega_{pi} = \sqrt{3\delta^2} \omega_0$ . В условиях эксперимента  $1/\delta^2 \sim 1/5$ , то есть  $\omega_{pi} \sim 0,8\omega_0$ . Минимальная характерная длина развития неустойчивости  $L_{\min} = 8L_0$ . Подстановка экспериментальных значений  $\theta \approx 5$  мкс,  $\theta_0 \approx 0,8$  мкс,  $\omega_0 = 2,5 \cdot 10^7 \text{ с}^{-1}$ ,  $u \approx 10^6 \text{ см/с}$ ,  $\epsilon \approx 1/3$  дает  $L_0 \approx 16 \text{ см}$ ,  $L_{\min} \approx 130 \text{ см}$ . Наблюдаемое значение несколько меньше:  $L \sim 50 \text{ см}$ . Значение  $b = 1/3$  при частоте модуляции 4 МГц соответствует плотности плазмы  $n_0 \sim 10^{10} \text{ см}^{-3}$ , что согласуется с экспериментом.

Дальнейшее уменьшение плотности плазмы приводит к росту характерной длины неустойчивости, при  $n_0 \sim 10^9 \text{ см}^{-3}$  она существенно больше длины системы. Аналогичная ситуация имеет место и в случае увеличения плотности плазмы. В этом случае нужно учитывать появление высших гармоник основной частоты.

#### ЛИТЕРАТУРА

1. Куприянова Е. Б., Митько С. В., Сычев И. А. Краткие сообщения по физике, № 5, 11 (1986).
2. Кадомцев Б. Б. Коллективные явления в плазме. М., Наука, 1976.